

MORFOLOGIA COMPARADA DEL ESQUELETO CRANEAL EN TRES ESPECIES DEL GENERO *KENTROPYX* SPIX (SQUAMATA, TEIIDAE).

María Esther TEDESCO⁽¹⁾ y Ligia KRAUSE⁽²⁾

RESUMEN: El presente estudio compara la morfología de los huesos del cráneo en tres especies de *Kentropyx*, a saber: *K. viridistriga*, *K. striata* y *K. calcarata*. Se encontraron diferencias significativas entre estas tres especies en los siguientes aspectos: morfología craneal; premaxilar; frontal; postfrontal-postorbital; parietal y epipterygoides. Con relación a los huesos portadores de dientes, solo el maxilar y el dentario presentaron diferencias significativas en cuanto al número, no así en la morfología dentaria.

ABSTRACT: The present study compares the morphology of the bones of the cranium of three species of *Kentropyx*, namely: *K. viridistriga*, *K. striata* y *K. calcarata*. Significant differences were found among the three species in the following aspects: cranial morphology; premaxilar; frontal; post-frontal-postorbital; parietal and epipterygoid. Related to the bones carrying teeth only maxilar and dentarium showed significant differences related only to the number of teeth, but not regarding its morphology.

Palabras claves: Saurios, morfología, huesos, cráneo, Teiidae.

Key words: Sauria, morphology, bones, cranium, Teiidae.

INTRODUCCIÓN

Gallagher y Dixon (1980) basándose en la diferenciación de caracteres merísticos, número de poros femorales y número de escamas alrededor del medio cuerpo, reconocieron tres grupos de especies dentro del género *Kentropyx*: a) grupo *striata*, que incluye a *K. striata* y *K. borckiana*, caracterizados por poseer escamas dorsales agrandadas que se extienden desde las supracaudales hasta después del medio cuerpo y escamas laterales granulares; b) grupo *paulensis*: *K. viridistriga*, *K. paulensis* y *K. vanzoi*, con escamas dorsales granulares, escamas de la cadera y supracaudales agrandadas; c) grupo *calcarata*: *K. calcarata*, *K. pelviceps* y *K. altamazónica*, con escamas dorsales granulares y supracaudales ligeramente agrandadas.

En el presente trabajo, se estudia la morfología de los huesos craneales de un representante de cada grupo: *Kentropyx viridistriga*, (grupo *paulensis*) *K. striata* (grupo *striata*) y *K. calcarata* (grupo *calcarata*), con el propósito de brindar nuevos caracteres que provean información sobre la filogenia de los grupos estudiados, complementando los aportes de Gallagher y Dixon (*op. cit.*).

Kentropyx viridistriga, es un lagarto de talla moderada y de movimientos relativamente rápidos. Habita ambientes higrófilos, preferentemente sabanas y montes bajos. Se lo encuentra en madrigueras y posee la capacidad de trepar a bajas alturas. Su localidad tipo es Asunción, Paraguay. Está presente en Mato Grosso, Brasil y en Argentina, en las provincias de Formosa (Yanosky *et al.*, 1993), Chaco y Corrientes (Tedesco *et al.*, 1994).

(1) Departamento de Biología, Facultad de Ciencias Exactas y Naturales y Agrimensura, Universidad Nacional del Nordeste. Avda. Libertad 5640 (3400) Corrientes, Argentina.

(2) Departamento de Zoología, Instituto de Biociências, Universidade Federal do Rio Grande do Sul. Avda. Bento Gonçalves, 9.500 – Prédio 43.435 – 91.501-970 Porto Alegre, RS, Brasil

Kentropyx striata, es un lagarto típico de sabana (Hoogmoed, 1973). Su localidad tipo es Surinam. Se distribuye en el norte de América del Sur (Peters y Donoso Barros, 1970).

Kentropyx calcarata, es un lagarto que vive principalmente en lugares boscosos (Vanzolini, 1972). Su localidad tipo es Río Itapicuriú, Maranhão, Brasil. Se distribuye en América del Sur, en la porción norte de la Cuenca Amazónica (Peters y Donoso Barros, *op. cit.*)

Las tres especies comparten el hábito de vivir en áreas cercanas a cuerpos de agua, son trepadoras y en algunos casos ocupan madrigueras (Hoogmoed, *op.cit.*; Vanzolini, *op. cit.*; Boos y Quesnel, 1971; Gallagher y Dixon, 1992 y Aguirre, com. pers.)

Numerosos investigadores han realizado valiosos aportes referidos a estudios morfoanatómicos craneales y posteraneales en representantes de la familia Teiidae, entre los que se destacan Du Bois (1943), descripción del cráneo en dos especies de *Cnemidophorus*; Reese (1923), *Tupinambis nigropunctatus* Spix, 1825 [actualmente *T. teguixin*, Linnaeus 1758]; Barberena *et al.* (1970), *Tupinambis teguixin*, Linnaeus 1758 [actualmente *T. merianae* (Dumeril y Bibron, 1839)]; Krause (1978a, 1978b), con la descripción de la osteología post-craneal de *Tupinambis teguixin*, Linnaeus 1758 [actualmente *T. merianae* (Duméril y Bibron, 1839)]; Presch, (1970, 1974a) y Krause, (1990) estudios osteológicos comparados en nueve géneros de la familia Teiidae; Alvarez *et. al.*, (1987) osteología craneal de *Teius teyou* (Daudin, 1802); Tedesco *et al.* (1997) osteología craneal y posteraneal de *Kentropyx viridistriga* y *K. lagartija*; Tedesco *et al* (1999), descripción del sín craneo de *Ameiva ameiva* (Linnaeus); Fisher y Tanner (1970), osteología y miología craneal en teidos centro y norteamericanos: *Cnemidophorus tigris septentrionalis* Burger, 1950 y *Ameiva undulata parva* Barbour y Noble 1915; entre otros.

MATERIALES Y MÉTODOS

Se trabajó con una muestra de 9 ejemplares de *K. viridistriga* (3 machos y 3 hembras adultos y 2 machos y 1 hembra juveniles) y 2 de *K. calcarata* (machos adultos) y 2 de *K. striata* (machos adultos). La pequeña muestra de estas dos últimas especies se debe a su difícil obtención.

Para este estudio se utilizaron cráneos secos y otros diafanizados a través de la metodología de Dingerkus y Uhler (1977) y Taylor (1967).

A los efectos de establecer diferencias interespecíficas en cuanto al tamaño del cráneo, se emplearon cinco caracteres continuos obtenidos de la siguiente manera:

1. Longitud total del cráneo (**LC**): desde el extremo anterior del hocico hasta el extremo posterior del cóndilo occipital.
2. Ancho del cráneo (**AC**): a nivel de los huesos cuadrados por ser la región más ancha.
3. Altura del cráneo (**HC**): a nivel de los procesos basipterigoides del basiesfenoides y dorsalmente sobre el parietal.
4. Longitud del hocico (**Lho**): desde el borde anterior del premaxilar hasta el borde anterior de la órbita delimitado por el prefrontal.

5. Ancho del hocico (**Aho**): a ambos lados de la sutura del premaxilar con el maxilar.

Las siglas corresponden a las siguientes colecciones: UNNEC: Universidad Nacional del Nordeste Corrientes; MEG: Museu Paranaense Emilio Goeldi, Belém, Pará. Los esqueletos indicados con (**SE**) son preparados en seco y los indicados con (**DI**) son diafanizados. El Material estudiado se detalla en el Anexo I.

RESULTADOS

En general, las dimensiones del cráneo de *K. viridistriga* son proporcionalmente menor respecto a *K. striata* y *K. calcarata*. El hocico es relativamente corto y ligeramente aguzado en *K. viridistriga* y *K. calcarata*; alargado, aguzado y levemente respingado en *K. striata*, tal como lo demuestran los caracteres referidos a LC, AC, HC, Lho y Aho (Tabla .1).

Los huesos que conforman el esqueleto craneal de *Kentropyx viridistriga* (Lám. I y II. Fig. 1-6), son muy delgados; la superficie dorsal tenuemente rugosa con el techo frontoparietal convexo en vista lateral. Macizo con rugosidades conspicuas, techo frontoparietal con un aplanamiento progresivo que se inicia en el parietal y se continúa hacia el nasal en *K. striata* y *K. calcarata*.

En la Tabla 2, se describe la morfología de los huesos que marcan diferencias interespecíficas.

Tabla 1: Caracteres continuos correspondientes a cinco variables craneales. El valor de la izquierda representa el mínimo del rango y el del extremo opuesto, el máximo. Las medidas se expresan en cm.

Variables	Especie		<i>Kentropyx calcarata</i>		<i>Kentropyx striata</i>	
	<i>Kentropyx viridistriga</i>	<i>Kentropyx viridistriga</i>	♂	♀	♂	♀
Long.total cráneo	1,79 – 1,80	1,68 – 1,80	2,39 – 2,40	---	2,50 – 2,62	----
Ancho cráneo	0,92 – 0,96	0,80 – 0,95	1,32	---	1,25	---
Altura cráneo	0,61 – 0,62	0,55 – 0,60	0,81 – 0,82	---	0,90	---
Long. Hocico	0,70 – 0,71	0,64 – 0,73	1,19	---	1,30 – 1,34	---
Ancho hocico	0,21	0,16 – 0,21	0,20 – 0,21	---	0,19	---

Tabla 2: Morfología de los huesos craneales en *Kentropyx viridistriga*, *K. calcarata* y *K. striata*.

Huesos Especies	Premaxilar (Lám. III, Fig. 7a y b)	Frontal (Lám. III, Fig. 8a y b)	Postfrontal-Postorbital (Lám. III, Fig. 9a, b y c)	Epiptirigoides (Lám. III, Fig. 9a, b y c)	Parietal (Lám. III, Fig. 10 a y b; Fig. 11 a, b y c)
<i>Kentropyx viridistriga</i>	Proceso nasal corto y distalmente triangular	Proceso central de mayor longitud que los procesos laterales	Ramas anterior y posterior del proceso frontoparietal visibles dorsalmente	El extremo dorsal se apoya directamente sobre el proceso descendente del parietal	Crestas laterales del hueso delgadas, aplastadas y de bordes afilados El borde posterior con los procesos posteriores determinan una figura en U abierta invertida.
<i>Kentropyx calcarata</i>			Rama posterior del proceso frontoparietal no se visualiza dorsalmente debido a que se apoya en su totalidad debajo de la cresta parietal	El extremo dorsal contacta con el vértice del proceso descendente del parietal a través de tejido conectivo	Crestas laterales del hueso espesas y de bordes redondeados. El borde posterior con los procesos posteriores determinan una figura típicamente en V invertida.
<i>Kentropyx striata</i>	Proceso nasal alargado y distalmente aguzado	Proceso central de igual longitud a los procesos laterales	Ramas anterior y posterior del proceso frontoparietal visibles dorsalmente		Crestas laterales del hueso espesas, expandidas lateralmente y curvadas hacia ventral.

Con respecto a los huesos portadores de dientes no se encontró diferencias significativas en el número de dientes en el premaxilar, con excepción del maxilar y dentario, cuyos valores se exponen en la tabla siguiente:

Tabla 3: Número promedio de dientes en los huesos premaxilar, maxilar y dentario. **M:** monocuspidal; **Bi:** bicuspidal; **Tri:** tricuspidal, **Nt:** valor medio del número total de dientes.

Especies	Dientes	Maxilar				Dentario			
	Premaxilar	M	Bi	Tri	Nt	M	Bi	Tri	Nt
<i>K. viridistriga</i>	8-10	3	3	10	16	3	5	11	19
<i>K. striatus</i>	10	3	4	11	18	2	5	13	20
<i>K. calcarata</i>	10	4	6	9	19	5	7	12	24

DISCUSIÓN Y CONCLUSIONES

Las especies estudiadas en este trabajo mostraron diferencias morfológicas interespecíficas que se evidencian en: la gracilidad de los huesos del cráneo; longitud del proceso nasal del premaxilar; posición de las ramas anterior y posterior del proceso frontoparietal del postfrontal-postorbital; modo de articular el extremo dorsal del epipterigoides con el parietal; figura que forma el borde posterior del cuerpo del parietal y crestas laterales del mismo hueso.

Como se expresa en la Tabla 2, fenéticamente *Kentropyx viridistriga* está más estrechamente relacionada con *K. calcarata* en cuanto al número de caracteres compartidos que con ningún otro. Mientras que *K. striata* comparte un solo carácter con las otras dos especies.

La estructura grácil de los huesos craneales y la tenue esculpturación en la región frontoparietal en *K. viridistriga* es similar a *K. lagartija* y a *Cnemidophorus ocellifer* (Tedesco, obs. pers.) y a la descrita para *Cnemidophorus tigris septentrionalis* (Fisher y Tanner, 1970). La robustez de los huesos del cráneo y la fuerte esculpturación en el techo del mismo en *K. calcarata* y *K. striata*, es semejante a la descrita para *Tupinambis teguixin* [actualmente *T. merianae*] (Barberena et al., 1970), *Ameiva undulata parva* (Fisher y Tanner, op. cit.), *Teius teyou* y *T. ocellatus* (Alvarez et al., 1987); *Ameiva ameiva* (Tedesco et al., 1999).

En *Kentropyx viridistriga* el extremo dorsal del epipterigoides articula con el proceso descendente del parietal apoyándose externamente sobre éste, como ocurre en *Tupinambis teguixin* [actualmente *T. merianae*] (Barberena et al., op.cit.), *Teius teyou* y *T. ocellatus* (Alvarez et al op. cit.); *Ameiva ameiva* (Tedesco et al., op.cit.). En *Kentropyx calcarata* y *K. striata*, el contacto se realiza a través de tejido conectivo al igual que en *Cnemidophorus ocellifer* (Tedesco, obs. pers.); mientras que en *Ameiva undulata parva* y *Cnemidophorus tigris septentrionalis*, es anterior y ventral (Fisher y Tanner, op. cit.). En *Cnemidophorus sexlineatus* y *C. gularis*, se produce a través de una muesca pobablemente definida (Du Bois, 1943).

A nivel intraespecífico, se comparó los huesos del cráneo entre juveniles y adultos en *Kentropyx viridistriga*, no observándose diferencias osteológicas, aunque no se

descarta la posibilidad de que existan. Para establecer grado de osificación o procesos de heterocronía, sería necesario estudiar los distintos estadios de desarrollo.

En cuanto a la morfología dentaria *Kentropyx viridistriga*, *K. calcarata* y *K. striata* poseen dientes mono, bi y tricuspidales con la cúspide central de mayor longitud y orientada en sentido ánteroposterior. En las tres especies, predominan los dientes tricuspidales tanto en el hueso maxilar como en el dentario (Tabla 3).

Morfología similar fue observada en *Cnemidophorus tigris septentrionalis* y *Ameiva undulata parva* (Fisher y Tanner, *op. cit.*), en *Ameiva ameiva* (Tedesco *et al.*, *op. cit.*) y en *Cnemidophorus ocellifer* y *Kentropyx lagartija* (Tedesco, *obs. pers.*).

Presch (1974 b) y Krause (*en prep.*) observaron la misma morfología en especies de cuatro géneros de teidos: *Ameiva*, *Callopiestes*, *Crocodilurus* y *Kentropyx*. Alvarez *et al.* (*op. cit.*) indican para *Teius teyou* y *T. oculus* dientes mono y bicuspidales, con cúspides orientadas transversalmente al eje de la mandíbula, siendo la cúspide labial de mayor longitud. Krause, (*en prep.*) observó idénticas características en *Callopiestes maculatus*.

En la mayoría de los teidos se encuentran características morfológicas dentarias similares adaptadas a una alimentación preferentemente de tipo insectívora con tendencia omnívora (Hotton, 1955 en Presch, 1974 b; Hoogmoed, 1973, Boos y Quesnel, 1971 y Magnusson *et al.*, 1985 en Gallagher y Dixon, 1992; Alvarez *et al.*, *op. cit.*; Tedesco *et al.*, 1995).

Teius teyou, *T. oculus* y *Callopiestes maculatus* comparten el régimen dietario con las restantes especies pero presentan dientes morfológicamente diferentes (Alvarez *et al.*, 1992 y Krause, *en prep.*).

En *Tupinambis merianae*, el estadio juvenil posee un tipo de dentición diferente a la del adulto cuyas modificaciones estarían relacionadas con el régimen alimentario insectívoro en los juveniles y carnívoro en los adultos. (Presch, *op. cit.*)

Se comparó los dientes de juveniles y adultos en *K. viridistriga*, no detectándose diferencias morfológicas. Esto indicaría que probablemente no hay cambios en la dieta, Krause (*en prep.*).

AGRADECIMIENTOS

A Beatriz Alvarez y Jorge Céspedes, quienes a través de sus observaciones y sugerencias, ayudaron a mejorar este trabajo. A Roberto Aguirre por la realización de los dibujos.

BIBLIOGRAFÍA

- ALVAREZ, B.B., M.E. TEDESCO y E. PORCEL, 1987. Osteología craneal de *Teius teyou* (Daudin, 1802) (Reptilia, Teiidae). *Cuad. Herpetol.*, 3 (2): 1-31.
- ALVAREZ, B.B., M.E. TEDESCO, J.G. TORALES y E. PORCEL, 1992. Comportamiento alimentario de dos especies de *Teius* (Teiidae) del nordeste argentino. *Acta Zool. Lilloana.*, 41: 263-269.
- BARBERENA, M., N. GOMES y L. SANCHOTENE, 1970. Osteología craneana de *Tupinambis teguixin*. *Pub. Esp. Escol. Geol.*, Porto Alegre, (21): 1-32.

- BOOS, J.O. and V.C. QUESNEL, 1971. Notes on *Kentropyx striatus* in Trinidad, West Indies. *Herpetologica*, 27 (4): 477-481.
- DINGERKUS, G. y L.D. UHLER, 1977. Enzyme clearing of alcian blue stained whole vertebrates for demonstration of cartilage. *Stain Technol.*, 52 (4): 229-239.
- DU BOIS, E.P., 1943. Osteology of the skull of *Cnemidophorus*. *Amer. Midl. Nat.*, 30 (2): 510-517.
- FISHER, L. and W. TANNER, 1970. Osteological and myological comparisons of the head and the thorax regions of *Cnemidophorus tigris septentrionalis* Burger and *Ameiva undulata parva* Barbour and Noble (Family Teiidae). *Brigham Young Univ. Sci. Bull.*, 11 (1): 1-41.
- GALLAGHER, D.S. y J.R. DIXON, 1980. A new lizard (Sauria: Teiidae: *Kentropyx*) from Brasil. *Copeia* (4): 616-620.
- GALLAGHER, D.S. y J.R. DIXON, 1992. Taxonomic revision of the South American Lizard genus *Kentropyx* Spix (Sauria: Teiidae). *Boll. Mus. Reg. Sci. nat. Torino*, 10 (1): 125-171.
- HOOGMOED, M.S., 1973. *Notes on the herpetofauna of Surinam IV. The lizards and amphisbaenians of Surinam*. The Hague, W., Junk: 419 p.
- KRAUSE, L., 1978a, Osteologia pós-craniana de *Tupinambis teguixin* (L., 1758) sensu *Boulenger, 1885*. Parte I: esqueleto axial (Vértebras e costelas) (Lacertilia, Scincomorpha, Teiidae). *Revista Brasileira de Biologia*, 38 (2): 481-499. RJ, Brasil.
- KRAUSE, L., 1978b, Osteologia pós-craniana de *Tupinambis teguixin* (L., 1758) sensu *Boulenger, 1885*. Parte II: esqueleto apendicular (Cinturas e membros) (Lacertilia, Scincomorpha, Teiidae). *Revista Brasileira de Biologia*, 38 (3):509-521. RJ, Brasil.
- KRAUSE, L., 1990. Morfologia e aspectos funcionais do esqueleto apendicular dos macroteídeos (Sauria, Scincomorpha, Teiidae) - *Boletim do Instituto de Biociências, UFRGS, Porto Alegre, RS* (47): 1-114.
- PETERS, J.A. y R. DONOSO BARRÓS, 1970. *Catalogue of the Neotropical Squamata*. Part. II. Lizards and Amphisbaenians. *Bull. US Nat. Mus.*, 297 (2): 293 p.
- PRESCH, W.F., 1970. *The evolution of macroteiid lizards: An osteological interpretation*. Dissertation, University of Southern California: 255 p.
- PRESCH, W.F., 1974a. Evolutionary relationships and biogeography of the macroteiid lizards (Family Teiidae, Subfamily Teiinae). *Bull. Of the Southern California Academy of Sciences*, 73 (1): 23-32.
- PRESCH, W.F., 1974b. A survey of the dentition of the macroteiid lizards (Teiidae:Lacertilia). *Herpetologica*, 30 (4): 344-349.
- REESE, A.M., 1923. The osteology of tegu *Tupinambis nigropunctatus*. *J. Morphol.*, 38 (1):1-16.
- TAYLOR, W.R., 1967. An enzyme method of clearing and staining small vertebrates. *Proceedings of the United States National Museum. Washington*, 122 (3596): 1-17.
- TEDESCO, M.E., J.M. CEI, E. PORCEL y B.B. ALVAREZ, 1994. Variabilidad Poblacional en el Género *Kentropyx* (Squamata: Teiidae) del Norte de Argentina. *Cuad. Herpetol.*, 8 (1): 83-86.
- TEDESCO, M.E., G.J. TORALES y E. PORCEL, 1995. Aportes al conocimiento de la dieta de *Cnemidophorus ocellifer* (Squamata, Teiidae). *Facena*, 11: 19-23.
- TEDESCO, M.E. y J.M. CEI, 1997. Osteological research on the genus *Kentropyx* from Argentina and re-validation of the specific status for *Kentropyx lagartija* (Gallardo, 1962) (Squamata: Teiidae). *Boll. Mus. Reg. Di Sci. Nat. Torino*, 15 (1): 231-240.
- TEDESCO, M.E., L. KRAUSE y B.B. ALVAREZ, 1999. Descripción del sincrónico de *Ameiva ameiva* (Linnaeus) (Squamata, Teiidae). *Revta. Bras. Zool.*, 16 (4): 1025-1044.
- VANZOLINI, P.E.,1972. Miscellaneous note on the ecology of some Brazilian lizards (Sauria). *Papeis Avulsos Zoo.(S. Paulo)*, 26 (8): 83-115.
- YANOSKY, A., J.R. DIXON y C. MERCOLLI, 1993. The Herpetofauna of El Bagual Ecological Reserve (Formosa, Argentina) with comments on its Herpetological Collection. *Bull. Maryland Herpetological Soc.*, 29 (4): 160-171

ANEXO I

Kentropyx viridistriga: UNNEC : SE 001053. Santa Lucía, Corrientes, Argentina; DI 001056. Laguna Soto, Corrientes, Argentina; SE 007150. Laguna Brava, Corrientes, Argentina (machos); SE 001055. Laguna Brava, Corrientes, Argentina; SE 001064. Laguna Brava, Corrientes, Argentina; SE 006969. Laguna Brava, Corrientes, Argentina, (hembras); SE 001060. Laguna Brava, Corrientes, Argentina; SE 006970. Laguna Brava, Corrientes, Argentina, (machos juveniles); SE 006971. Laguna Brava, Corrientes, Argentina, (hembra juvenil); *Kentropyx calcarata*: MEG: DI 55797. Sin datos de procedencia; SE 5634. Sin datos de procedencia, (machos); *Kentropyx striata*: MEG: SE 6472. Município Ponta de Pedras, PA, Brasil; DI 6478. Município Ponta de Pedras, PA,Brasil, (machos).

Recibido/Received: Jul-01
Aceptado/Accepted: Dic-01

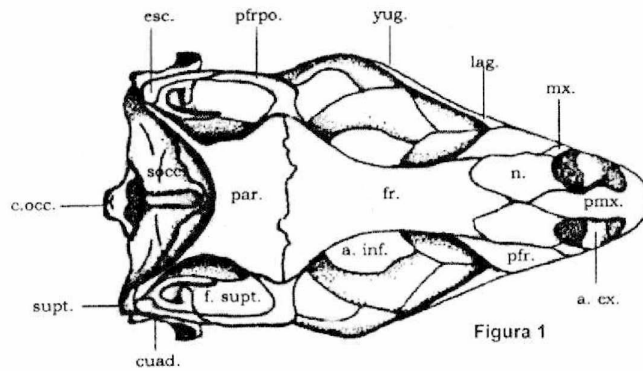


Figura 1

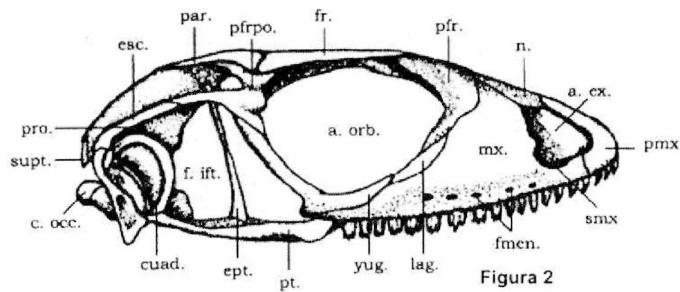


Figura 2

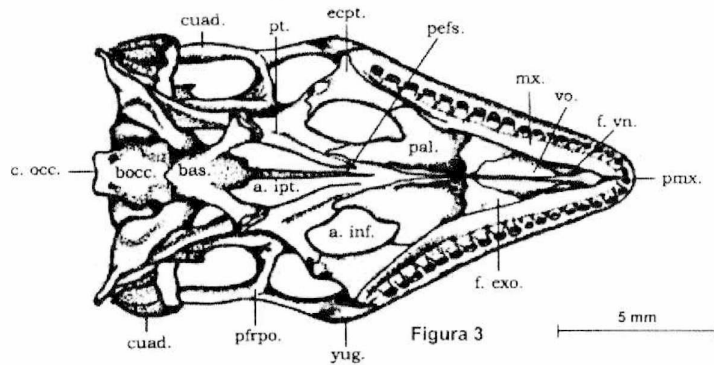


Figura 3

5 mm

LAMINA I. Cráneo de *Kentropyx viridistriga*. Vista dorsal (Fig. 1) - Vista lateral (Fig. 2) Vista ventral (Fig. 3)

a. ex.: abertura exonarina; **a. inf.:** abertura infraorbitaria; **a. ipt.:** abertura interpterigoidea; **a. orb.:** abertura orbitaria; **bas.:** basiesfenoides; **bocc.:** basioccipital; **c. occ.:** cóndilo occipital; **cuad.:** cuadrado; **ecpt.:** ectopterigoideo; **ept.:** epipterigoideo; **esc.:** escamoso; **f. exo.:** fenestra exocoanal; **f. ift.:** fenestra infratemporal; **f. supt.:** fenestra supratemporal; **f.vn.:** fenestra vomeronasal; **fmen.:** forámenes mentales; **fr.:** frontal; **lag.:** lagrimal; **mx.:** maxilar; **n.:** nasal; **pal.:** palatino; **pefs.:** paraesfenoides; **par.:** parietal; **pfr.:** prefrontal; **pmx.:** premaxilar; **pfrpo.:** post-frontal-postorbital; **pro.:** proótico; **pt.:** pterigoideo; **smx.:** septomaxilar; **socc.:** supraoccipital; **supt.:** supra-temporal; **vo.:** vómer; **yug.:** yugal.

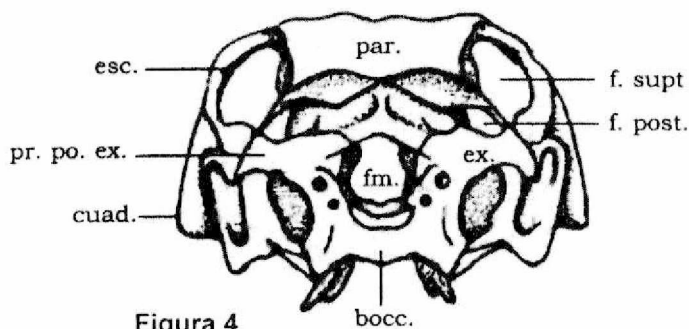


Figura 4

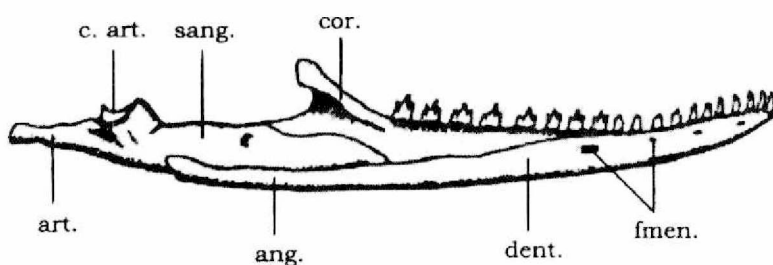


Figura 5

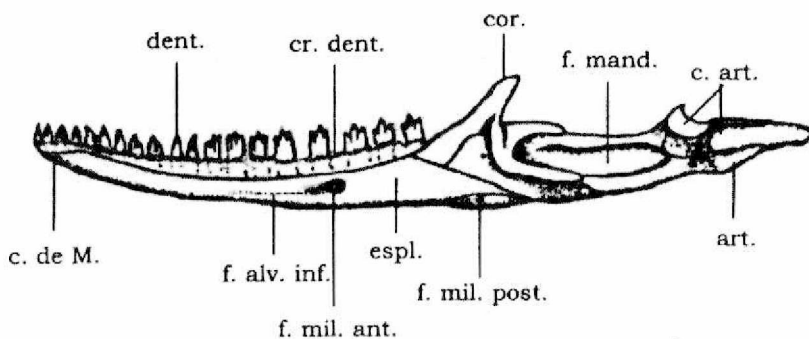


Figura 6

5 mm

LAMINA II: Cráneo de *Kentropyx viridistriga*. Vista posterior (Fig. 4)- Mandíbula: Vista labial (Fig. 5). Vista lingual (Fig. 6)

ang.: angular; **art.:** articular; **c de M.:** canal de Meckel; **c. art.:** cóndilo articular; **cor.:** coronoiideo; **cr. dent.:** cresta dentaria; **cuad.:** cuadrado; **dent.:** dentario; **espl.:** esplenial; **ex.:** exoccipital; **f. post.:** fenestra posttemporal; **f. supt.:** fenestra supratemporal; **f. alv. inf.:** foramen alveolar inferior; **fm.:** foramen magnum; **f. mand.:** foramen mandibular; **fmen.:** forámenes mentales; **f. mil. ant.:** foramen milohioideo anterior; **f. mil. post.:** foramen milohioideo posterior; **pr.po.ex.:** proceso paraoccipital del exoccipital; **sang.:** suprangular.

LAMINA III: Diferencias de los huesos craneales en A: *Kentropyx viridisiriga*, B: *K. striata*, C: *K. calcarata*. cr.l.par.: cresta lateral del parietal; ept.: epipterigoides; par.: parietal; pc.: proceso central del frontal; p.frpar.: proceso frontoparietal; pl.: proceso lateral del frontal; pn.: proceso nasal del premaxilar

